

اثر آبشکن بر کاهش عمق آبستنگی اطراف پایه پل‌ها در پیچ رودخانه‌ها

معصومه زارع و تورج هنر^{*۱}

(تاریخ دریافت: ۱۳۹۱/۶/۲۹؛ تاریخ پذیرش: ۱۳۹۴/۸/۳۰)

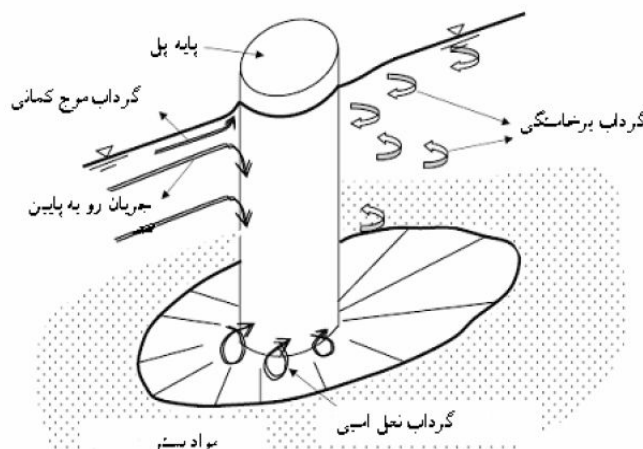
چکیده

مهم‌ترین دلیل نگرانی، در خصوص پایداری پل‌ها، قوی آبستنگی موضعی در اطراف آنهاست. از این‌رو روش‌های مختلفی برای جلوگیری و یا کاهش عمق آبستنگی اطراف پایه پل‌ها ارایه شده است. استفاده از آبشکن از جمله شیوه‌های نوین کنترل و کاهش آبستنگی موضعی می‌باشد. در مطالعه حاضر تأثیر استفاده از یک آبشکن نفوذناپذیر در کنترل آبستنگی موضعی اطراف پایه پل استوانه‌ای شکل مستقر در قوس یک کanal آزمایشگاهی مورد بررسی قرار گرفته است. آزمایشات برای آبشکن با سه زاویه قرارگیری ۹۰، ۵۰ و ۱۲۰ درجه نسبت به کرانه پایین دست در سه دبی ۴۷، ۴۹ و ۵۱ لیتر در ثانیه، در شرایط آب زلال انجام شد. نتایج حاصله نشان داد در کلیه نسبت‌های سرعت به سرعت بحرانی و همه زوایای قرارگیری آبشکن، آبستنگی در اطراف پایه پل نسبت به حالت شاهد کاهش می‌یابد. همچنین در همه نسبت‌های سرعت به سرعت بحرانی بهترین عملکرد مربوط به آبشکن عمودی می‌باشد و میانگین عملکرد آبشکن دافع نسبت به آبشکن جاذب و مطلوب‌تر است اما با افزایش دبی و به تبع آن نسبت سرعت به سرعت بحرانی از تأثیر آبشکن عمودی کاسته شد و در مقابل آن عملکرد آبشکن جاذب بهبود می‌یابد. بهترین عملکرد مربوط به آبشکن عمودی در نسبت سرعت به سرعت بحرانی برابر با ۰/۸۴، می‌باشد که موجب کاهش ۷۱/۴۲ درصدی آبستنگی در اطراف پایه پل می‌شود.

واژه‌های کلیدی: آبستنگی، آبشکن، پایه پل، پیچ رودخانه

۱. گروه مهندسی آب، دانشکده کشاورزی، دانشگاه شیراز

*: مسئول مکاتبات: پست الکترونیکی: toorajhonar@yahoo.com



شکل ۱. نمایشی از سیستم‌های گردابی پیرامون پایه پل

کردن آن در طراحی پل‌ها و مهم‌تر از همه به کار بردن تمهیدات لازم برای کترل و کاهش آبشنستگی، موضعی امری بسیار ضروری می‌باشد. مکانیسم عمل آبشنستگی موضعی به این صورت است که پس از برخورد جریان به پایه پل، با توجه به اینکه سرعت جریان از بستر رودخانه به طرف سطح آب بیشتر می‌شود، فشار بیشتری در ترازهای بالاتر بر روی پایه ایجاد می‌شود و به این ترتیب گرادیان فشاری روی پایه از بالا به پایین به وجود می‌آید که خود باعث ایجاد یک جریان رو به پایین در عقب پایه می‌شود. جریان رو به پایین در حین برخورد به بستر رودخانه، ضمن حفر بستر به هر طرف پراکنده می‌شود. با حفر بستر در عقب پایه، این جریان وارد حفره شده و به طرف بالا گرداب‌هایی با نام گرداب نعل اسپی ایجاد می‌نماید. از سوی دیگر، جریان برخورد کرده به پایه در کناره آن از پایه جدا می‌گردد و موجب ایجاد گرداب‌هایی می‌شود که محور آنها عمود بر بستر رودخانه می‌باشد. این گرداب‌ها با عنوان گرداب برخاستگی، همچون گردباد ذرات بستر را به سمت بالا مکیده و در معرض جریان قرار می‌دهند و به این ترتیب به حمل مصالح کنده شده از جلو و اطراف پایه به سمت پایین دست کمک می‌نماید و در عین حال نیز یک حفره آبشنستگی مستقل در پایین دست پایه ایجاد می‌گردد (شکل ۱).

به طورکلی روش‌های مقابله با آبشنستگی در دو دسته تقسیم

مقدمه
پل‌ها در برقراری راه‌های ارتباطی از اهمیت زیادی برخوردارند. همه ساله هزاران پل در سراسر جهان به دلیل عدم درک صحیح از هیدرولیک جریان اطراف پایه و رعایت نکردن ملاحظات فنی در طراحی و اجرای آنها تخریب می‌شوند که دلیل عدمه آن آبشنستگی موضعی می‌باشد. تخریب و خسارت واردہ به پل‌ها که اغلب در هنگام سیلاب رخ می‌دهد، علاوه بر ضررهای مالی، به علت قطع راه‌های ارتباطی، کمک به مناطق سیل زده را مختل نموده و از این نظر عواقب اجتماعی نیز به دنبال دارد.

ضرورت بررسی پدیده آبشنستگی زمانی آشکار می‌گردد که عمق آبشنستگی قابل ملاحظه باشد به گونه‌ای که این عمق به پی سازه‌های رودخانه‌ای برسد و پایداری این سازه‌ها را در معرض خطر قرار دهد و نهایتاً موجب تخریب آنها گردد. در ایران بر طبق آمار ارائه شده مشکل آبشنستگی موضعی در پل‌های پل عامل اصلی تخریب آنها می‌باشد. تحقیقات انجام شده در هشت منطقه و استان کشور نشان می‌دهد که از پل‌های این محدوده دچار آبشنستگی شده‌اند. همچنین نتایج بررسی‌های انجام شده نشان می‌دهد که از تعداد کل پل‌ها که نیاز به مرمت و تعمیر دارند، ۵۷٪ آنها بهجهت آبشنستگی نیاز به تعمیرات دارند (۴).

بنابراین شناخت این پدیده، پیش‌بینی میزان آن و لحاظ

در صد نسبت به حالت بدون طوق کاهش می‌دهد. حیدرپور و همکاران (۱۴) نیز، اثر طوق در کاهش عمق آبستنگی اطراف گروه پایه‌ها را مورد بررسی قرار داده و نشان دادند که اثر طوق در کاهش عمق آبستنگی در پایه‌های عقبی بسیار آشکارتر از اولین پایه است و همچنین با افزایش فاصله بین پایه‌ها عمق آبستنگی نیز افزایش می‌یابد. در زمینه ایجاد شکاف، حیدرنتزاد و همکاران (۱۳)، به این نتیجه رسیدند که شکاف‌هایی با طول بیشتر که از سطح بستر شروع می‌شوند عمق آبستنگی را بیشتر کاهش می‌دهند. در مطالعاتی که توسط حیدرپور و همکاران (۳) نیز صورت گرفت، اثر شکاف روی عمق آبستنگی بررسی شد. در این مطالعه طول شکاف برابر عرض پایه و دو برابر آن شد. در این اول از آزمایشات شکاف‌ها در درنظر گرفته شد. در سری اول از آزمایشات شکاف‌ها در نزدیکی بستر و در سری دوم در نزدیکی سطح آب قرار گرفت و نتایج حاصل نشان داد که حداقل کاهش آبستنگی به وسیله شکاف‌هایی به اندازه دو برابر عرض پایه و در موقعیت نزدیک به سطح بستر اتفاق می‌افتد. همچنین کارایی شکاف در کنترل آبستنگی موضعی نیز برای یک پایه مستطیلی پیشانی گردید بیشتر از یک پایه استوانه‌ای است.

در تحقیق دیگری که توسط خاوریر اکپام و مزومدار (۱۵) روی اثر پیچش کابل در اطراف پایه‌های پل صورت گرفت، مشخص گردید که نقش کابل در منحرف کردن جریانات رو به پایین و تضعیف قدرت گردابه‌های نعل اسبی می‌باشد. همچنین عمق آبستنگی با افزایش قطر کابل و تعداد دورهای آن در اطراف پایه کاهش می‌یابد. دی و همکاران (۱۱)، دو زاویه ۱۵ و ۳۰ درجه را برای بستن کابل دور پایه مورد مطالعه قرار داده و نتیجه گرفتند با افزایش زاویه میزان عمق آبستنگی افزایش می‌یابد. دبردانی و همکاران (۵) نیز در تحقیقات خود، صفحات مستغرق با طول‌های متفاوت را به کار برداشتند به طوری که طول این صفحات مضربی از قطر پایه بود، نتایج حاصل نشان داد که کاربرد صفحات مستغرق با طول $0/5$ برابر قطر پایه بهترین نتیجه را در کاهش عمق آبستنگی دارد.

از دیگر روش‌های کاهش آبستنگی استفاده از آبشکن‌ها

می‌شوند: ۱- روش‌های مستقیم - ۲- روش‌های غیرمستقیم. در روش اول، مقاومت بستر، در برابر تنفس‌های واردہ افزایش می‌یابد که از جمله روش اجرایی آن می‌توان به عملیات سنگچین اشاره کرد اما در روش دوم، الگوی جریان‌های مخرب در اطراف پایه را تعییر می‌دهند. مانند استفاده از کابل، طوق و ... که در این زمینه مطالعات زیادی توسط محققین مختلف صورت گرفته است. به طور مثال سینگ و همکاران (۲۳) عملکرد طوق را مورد مطالعه قرار دادند. نتایج آزمایش آنان نشان داد که چنانچه فاصله بین تراز بستر و تراز نصب طوق افزایش می‌یابد، ماکریم عمق آبستنگی افزایش می‌یابد. لذا بهترین محل نصب طوق در آزمایش‌ها برابر $0/1$ قطر پایه (D) زیر سطح بستر بود که در این حالت طوق به قطر دو برابر قطر پایه، که مقدار آبستنگی را ۹۱ درصد کاهش می‌دهد، پیشنهاد گردید. همچنین طوق‌هایی با قطرهای $1/5$ ، $2/5$ و $4/5$ برابر قطر پایه روی بستر، به میزان 50% ، 68% و 100% نسبت به پایه بدون محافظ آبستنگی را کاهش می‌دهند. عقلی و زمردان (۹) با بررسی تأثیر همزمان طوق و کابل بر کاهش میزان آبستنگی پایه پل در قوس رودخانه‌ها، به این نتیجه رسیدند که با افزایش قطر کابل، آبستنگی بیشتر کاهش می‌یابد و بیشترین مقدار در کاهش آبستنگی، 59 درصد می‌باشد. همچنین طوق در بهترین حالت 55 درصد و طوق و کابل توأم، حداقل $69/7$ درصد عمق آبستنگی را کاهش می‌دهند. نتایج تحقیقات زراتی و همکاران (۶) بر کاهش آبستنگی موضعی با استفاده از سه مدل طوق به هم پیوسته، مجزا و به هم پیوسته همراه با سنگچین در گروه پایه‌های استوانه‌ای، نشان داد که در گروه پایه دوتایی که در جهت جریان قرار گرفته‌اند طوق پیوسته همراه با سنگچین بیشترین تأثیر را داشته و آبستنگی را در حدود 50 تا 60 درصد به ترتیب در پایه جلویی و عقبی کاهش می‌دهد. مسجدی و همکاران (۱۷) با مطالعه بر روی اثر طوق در کاهش عمق آبستنگی اطراف پایه‌های مستطیلی در خم 180 درجه، به این نتیجه رسیدند که نصب یک طوق به اندازه 3 برابر عرض پایه در عمق $0/1$ عرض پایه زیر بستر، عمق آبستنگی را حدود 95



شکل ۲. قوس محل آزمایش

و تأثیر تغییر زاویه قرار گیری آبشکن بر میزان آبستتگی اطراف پایه در سه دبی متفاوت بررسی گردید.

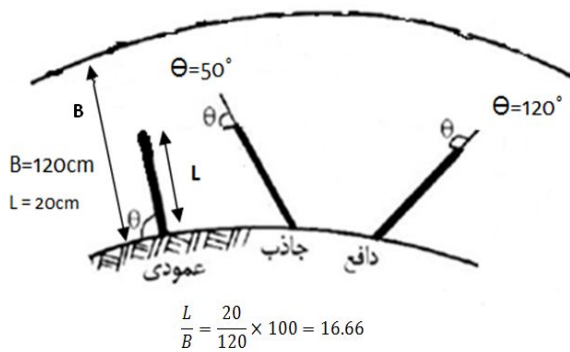
مواد و روش‌ها

آزمایش‌ها در یک کanal آزمایشگاهی قوسدار (مثاندر) با مقطع مستطیلی به طول ۶۰ متر، عرض $1/2$ متر، انحنای نسبی ۲ با کف بتونی در شیب $0/001$ با دیواره فولادی به ارتفاع $0/4$ متر واقع در آزمایشگاه هیدرولیک رسوب دانشکده کشاورزی دانشگاه شیراز انجام شد (شکل ۲).

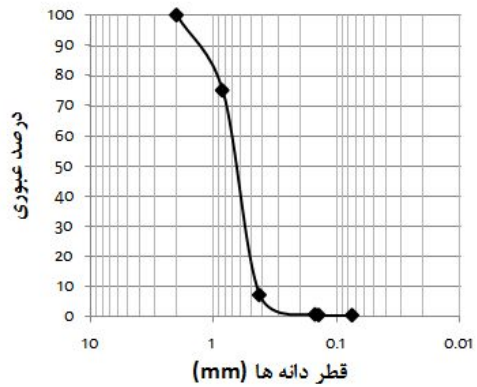
برای جلوگیری از شسته شدن رسوبات قرار گرفته در بخشی از قوس که مدل در آن قرار می‌گیرد، صفحات فلزی پایه‌داری در بالادست و پایین‌دست این قسمت نصب شد، به‌طوری‌که سطح این صفحات فلزی هم سطح رسوبات گردد. ضمناً جهت از بین بردن تفاوت زبری میان بستر رسوبات و صفحات در نظر گرفته شده، لایه نازکی از رسوبات به‌وسیله چسب روی این صفحات چسبانده شد. آزمایشات در سه دبی ۴۷ و ۵۱ لیتر بر ثانیه انجام شد که برای حصول حداقل عمق آبستتگی (ds)، عمق آب به گونه‌ای تنظیم شد تا نسبت سرعت جريان (u) به سرعت بحرانی (u_c) کمتر از $0/95$ شده و شرایط آبستتگی آب زلال برقرار شود (۲۱). از اين‌رو عمق آب در كليه آزمایشات $13/5$ سانتي متر در نظر گرفته شد که اين عمل توسط يك دريچه کشوبي تعبيه شده در پايين دست قوس انجام پذيرفت. با استفاده از معادلات ملويـل (۱۸) و ملويـل و

مي باشد که از جمله تحقیقات صورت گرفته در این زمينه می‌توان به مطالعات بصيرت و همكاران (۱) بر تأثیر آبشکن بر کاهش میزان آبستتگی تکيه‌گاه پل در کanal مستقیم، اشاره کرد. آنها در بررسی‌های خود به‌اين نتیجه رسيدند که میزان آبستتگی با افزایش فاصله آبشکن محافظت از تکيه‌گاه پل، افزایش می‌يابد و با افزایش طول آبشکن محافظت، کاهش پیدا می‌کند. سعادت‌نيا و همكاران (۸) نيز با بررسی عملکرد آبشکن بر کاهش عمق و حجم آبستتگی اطراف دماغه پل در يك کanal مرکب و مستقیم، در يافتند که آبشکن محافظت قادر به کاهش ۹۵ درصدی عمق آبستتگی می‌باشد.

با توجه به مطالب گفته شده در طی سال‌های گذشته، ارائه راه حل‌هایي جهت کاهش عمق آبستتگی مورد توجه محققین زيادي بوده است اما استفاده از آبشکن برای کتrel آبستتگی سابقه چندانی ندارد و تاکنون پژوهش‌های كمی در اين راستا صورت گرفته، که همه در زمينه استفاده از آبشکن جهت کتrel آبستتگی تکيه‌گاه پل در بازه‌های مستقیم می‌باشد. اما از آنجايي که ممکن است به علت محدوديت‌های احداث راه و يا عدم پايداري رودخانه در بازه‌های مستقیم، مجبور به احداث پل در قوس رودخانه شويم، ضرورت دانسته شد که اثر آبشکن بر عمق آبستتگی در اطراف پایه‌های پل در قوس رودخانه‌ها که تاکنون بررسی نشده است، مورد مطالعه قرار گيرد. بنابراین در اين تحقیق از يك آبشکن مستقیم، جهت کاهش عمق آبستتگی در اطراف پایه پل قرار گرفته در قوس رودخانه، استفاده می‌شود



شکل ۴. آرایش قرارگیری آبشکن در رودخانه



شکل ۳. منحنی دانه‌بندی رسوبات

$$ds = 2/\sqrt{5} \left(\frac{b}{d} \right) \left[\left(\frac{b}{11/5d} + 1 \right)^{1.69} - 1 \right], d = 13/5\text{cm}, \quad [6]$$

$$b = 2\text{cm} \rightarrow ds = 12/48\text{cm}$$

در این رابطه ds حداکثر عمق تعادلی آبشتستگی، d عمق متوسط جریان در بازه بالادست و b طول مؤثر آبشکن می‌باشد.

برای جلوگیری از تأثیر عمق جریان بر آبشتستگی موضعی بنا به توصیه رادکیوی و اتما (۲۲) نسبت عمق جریان به قطر پایه بزرگ‌تر از ۳، در نظر گرفته شد، از این‌رو قطر پایه $4/5$ سانتی‌متر اختیار گردید. طبق معیار رادکیوی و اتما (۲۲) برای از بین رفتن تأثیر دیواره‌های کanal بر آبشتستگی موضعی در اطراف پایه، نسبت فاصله محور پایه تا دیواره کanal به قطر پایه باید از $6/25$ بزرگ‌تر باشد. برای اساس پایه پل در فاصله یک سوم عرض کanal یعنی 40 سانتی‌متری از دیواره قرار گرفت و این نسبت برابر $8/88$ حاصل شد. به‌منظور کاهش عمق آبشتستگی (d) اطراف پایه، یک آبشکن نفوذناپذیر، غیرمستغرق و مستقیم در فاصله 3 برابر طول آبشکن از پایه و در بالادست آن، در پیچ خارجی نصب شد. براساس تحقیقات پردوک (۱۹) در هر مقطع عرضی از بازه رودخانه مجموع طول مؤثر آبشکن‌ها در دو سمت رودخانه حداکثر باید معادل 30 درصد عرض رودخانه در وضعیت طبیعی آن باشد (شکل ۴). بنابراین طول آبشکن‌ها 20 سانتی‌متر در نظر گرفته شد و ماکزیمم تنگ شدگی کanal در این حالت $16/66$ درصد می‌باشد. با توجه به

садرلند (۱۹)، نسبت سرعت به سرعت بحرانی (u/u_c) برای دبی‌های فوق الذکر به صورت زیر محاسبه شد (روابط ۱ تا ۵) :

$$u_{*c} = 0/0115 + 0/0125(d_{50})^{1/4}, \quad [1]$$

$$d_{50} = 0/71 \rightarrow u_{*c} = 0/019\text{m/s}$$

$$u_c = 5/75 u_{*c} \log \frac{y}{d_{50}}, \quad [2]$$

$$y = 135\text{mm} \rightarrow u_c = 0/33\text{m/s}$$

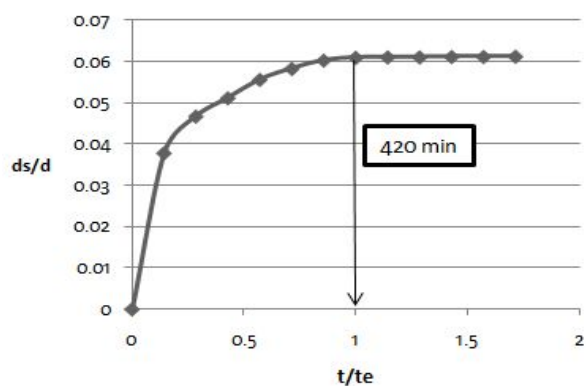
$$Q = 47 \frac{1}{s} \rightarrow u = 0/29\text{m/s} \rightarrow \frac{u}{u_c} = 0/87 \quad [3]$$

$$Q = 49 \frac{1}{s} \rightarrow u = 0/302\text{m/s} \rightarrow \frac{u}{u_c} = 0/9 \quad [4]$$

$$Q = 51 \frac{1}{s} \rightarrow u = 0/31\text{m/s} \rightarrow \frac{u}{u_c} = 0/94 \quad [5]$$

به توصیه رادکیوی (۲۱) برای اجتناب از تشکیل فرم بستر (ریپل) قطر متوسط ذرات باید از $0/7$ میلی‌متر بزرگ‌تر باشد و برای حذف اثر رسوبات روی عمق آبشتستگی باید نسبت قطر پایه به قطر متوسط ذرات بزرگ‌تر از $20-25$ باشد. همچنین به توصیه شفاعی بجستان (۸) برای حذف اثر غیریکنواختی ذرات بر آبشتستگی موضعی لازم است که انحراف معیار هندسی ذرات کوچک‌تر از $1/3$ باشد. با توجه به مطالب فوق از رسوباتی با قطر متوسط $0/71$ میلی‌متر و انحراف معیار هندسی $1/27$ استفاده شد. شکل ۳ منحنی دانه‌بندی ذرات را نشان می‌دهد. با استفاده از رابطه پترسن (۲۰) که برای آبشکن‌های منفرد و مستقیم با امتداد قائم ارائه شده است، ماکزیمم عمق آبشتستگی برای با $12/48$ سانتی‌متر به دست آمد که با احتساب 30 درصد افزایش احتمالی آن، ضخامت مصالح

زهکشی و تأثیری روی توپوگرافی بستر ایجاد ننماید. پس از گذشت چند ساعت و تخلیه کامل آب درون کanal، به وسیله یک متر لیزری با دقیقیت یک میلی‌متر، ثبت رقوم بستر در اطراف پایه و آبشکن در شبکه‌های 2×2 سانتی‌متری (حدود ۳۰° نقطه) انجام شد و به‌منظور اندازه‌گیری عمق آبشستگی در طول زمان، توسط دستگاه عمق‌سنج عمق آبشستگی در اطراف پایه اندازه‌گیری و نهایتاً خطوط کانتور و توپوگرافی ترسیم می‌گردد.



شکل ۵. نمودار زمان تعادل در دبی ۵۱ لیتر بر ثانیه

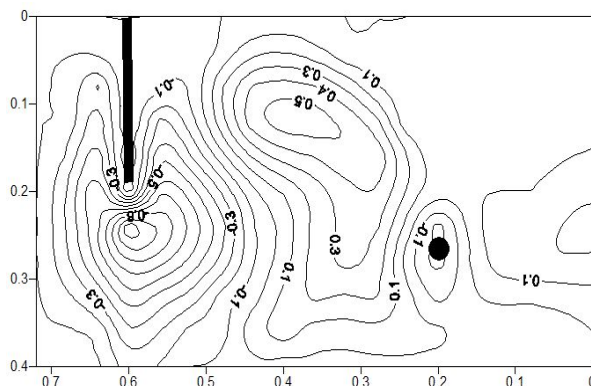
نتایج و بحث

در کلیه آزمایشات پس از تنظیم دبی و عمق جریان، بلا فاصله در اطراف پایه و آبشکن، گردابه‌ها تشکیل و آبشستگی با سرعت بسیار بالا آغاز شد و حفره آبشستگی شروع به شکل گیری کرد. در شکل‌های ۷، ۸ و ۹ نمایی از چند آزمایش و تغییرات توپوگرافی در دبی‌های مختلف برای تسلط بیشتر بر نحوه آزمایش آورده شده است.

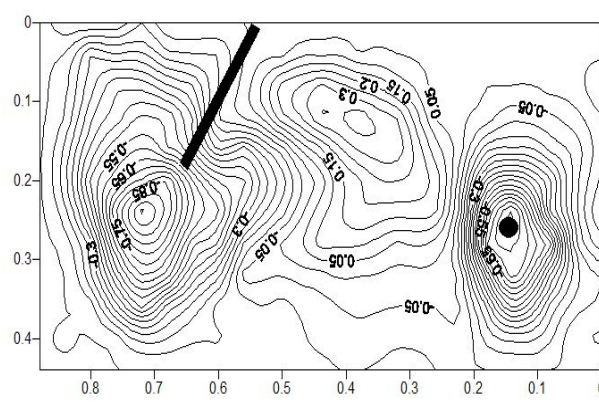
تغییرات زمانی آبشستگی اطراف پایه پل ۱. u/c برابر با 87°

شکل ۹ تغییرات زمانی عمق آبشستگی موضعی اطراف پایه پل را در نسبت u/c برابر با 87° نشان می‌دهد. همان‌گونه که در این شکل مشخص است، منحنی آبشکن 90° درجه با فاصله نسبتاً زیادی از منحنی‌های دیگر قرار دارد، که این بیانگر تأثیر پایه پل می‌باشد. آبشکن‌های 50° درجه و 120° درجه تأثیر کمتری بر کاهش عمق آبشستگی دارند و منحنی‌های این زوایا به منحنی شاهد نزدیک‌تر هستند. اما میانگین عملکرد آبشکن 120° درجه بهتر از 50° درجه می‌باشد. همان‌گونه که شکل نشان می‌دهد بیشینه عمق آبشستگی، در حالت شاهد و برابر $109D$ و کمینه آن در حضور آبشکن 90° درجه و برابر $31D$ می‌باشد.

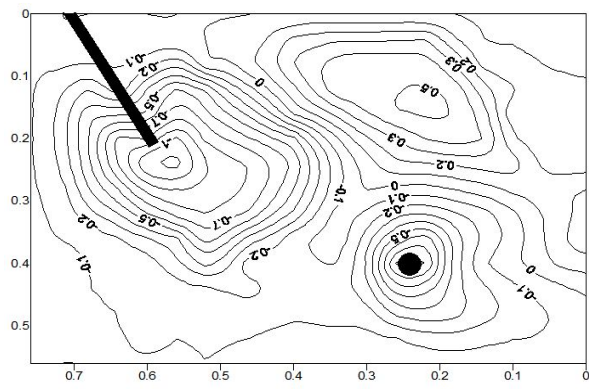
مقادیر عمق جریان و ضخامت مصالح بستر ارتفاع آبشکن‌ها برابر 30 سانتی‌متر در نظر گرفته شد. DHI (۱۲) زاویه قرار گیری آبشکن‌های جاذب را بزرگ‌تر از 45 درجه و برای آبشکن‌های دافع زاویه بین 95 درجه تا 120 درجه را پیشنهاد کرد. بنابراین در تحقیق حاضر از زاویه 50 درجه برای آبشکن جاذب و از زاویه 120 درجه برای آبشکن دافع استفاده شد (شکل ۴). معیار زمان تعادل (te) در این آزمایش‌ها معیاری است که کومار و همکاران (۱۶) در تحقیقات خود در نظر گرفتند و آن مدت زمانی است که تغییرات عمق آبشستگی در سه ساعت متواالی بیش از یک میلی‌متر نباشد. لذا در این تحقیق این مدت با انجام آزمایشی در دبی ۵۱ لیتر بر ثانیه و بدون حضور آبشکن، همان‌طور که در شکل ۵ قابل مشاهده است، برابر ۷ ساعت به دست آمد. در مطالعه حاضر 9 آزمایش در سه دبی مختلف با سه زاویه قرار گیری آبشکن به علاوه 3 آزمایش بدون حضور آبشکن به عنوان شاهد انجام شد. در هر آزمایش بعد از راه‌اندازی پمپ، در حالی که دریچه انتهایی کاملاً بسته است، توسط شیر کنترل دبی، جریان کمی وارد سیستم شد. پس از بالا آمدن آب و اطمینان از مرطوب شدن رسویات، همزمان با باز کردن دریچه انتهایی، دبی افزایش داده شد تا دبی مورد نظر حاصل شود. در این شرایط با تنظیم دریچه پایین دست عمق جریان $13/5$ سانتی‌متری حاصل شد. در پایان هر آزمایش، با خاموش نمودن پمپ، دریچه انتهایی نیز بسته شد تا آب موجود در کanal به آرامی



شکل ۶. پایه پل و آبشکن عمودی در دبی ۴۷ لیتر بر ثانیه - الگوی آبستگی در اطراف پایه و آبشکن



شکل ۷. پایه پل و آبشکن دافع در دبی ۴۹ لیتر بر ثانیه - الگوی آبستگی در اطراف پایه و آبشکن

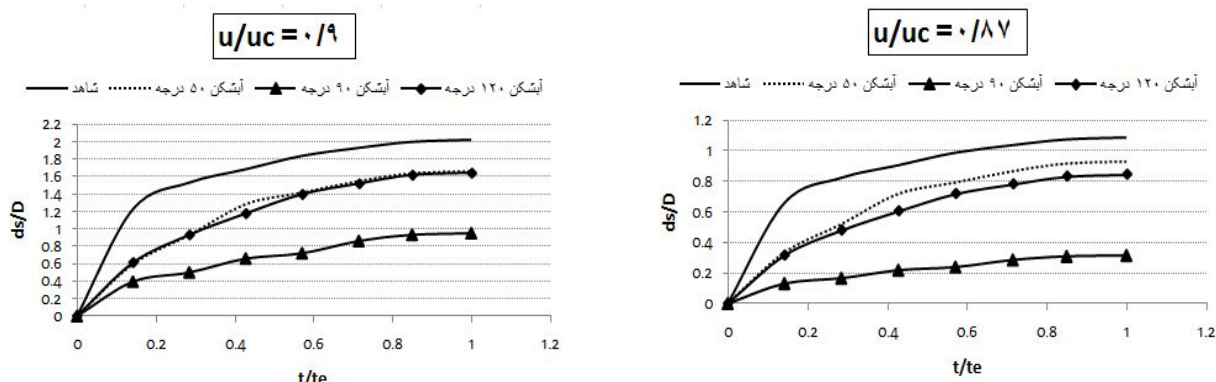


شکل ۸. پایه پل و آبشکن جاذب در دبی ۵۱ لیتر بر ثانیه - الگوی آبستگی در اطراف پایه و آبشکن

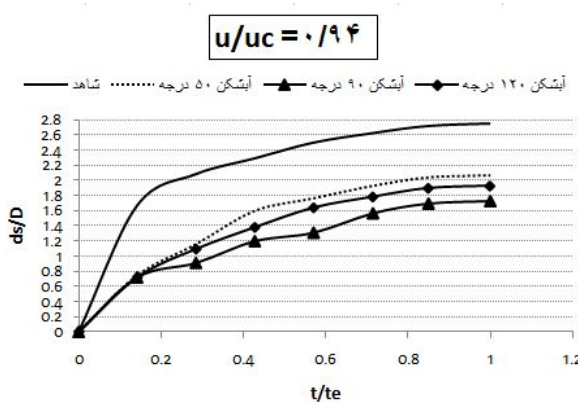
آبستگی دارد اما میزان این کاهش نسبت به حالت قبل کمتر شده و منحنی آن به منحنی شاهد نزدیک‌تر شده است. آبشکن‌های 120° درجه و 50° درجه نیز در رددهای بعدی کاهش قرار دارند اما همان‌طور که واضح است منحنی آبشکن 50° درجه

u/u_c برابر با $0/9$

شکل ۱۰ تغییرات زمانی عمق آبستگی موضعی اطراف پایه پل را در نسبت u/u_c برابر با $0/9$ نشان می‌دهد. چنانچه در شکل دیده می‌شود، آبشکن 90° درجه، عملکرد خوبی در کاهش عمق



شکل ۱۰. نمودار توسعه زمانی آبستنگی در نسبت u/u_c برابر با 0.9 و شکل ۹. نمودار توسعه زمانی آبستنگی در نسبت u/u_c برابر با 0.87



شکل ۱۱. نمودار توسعه زمانی آبستنگی در نسبت u/u_c برابر با 0.94

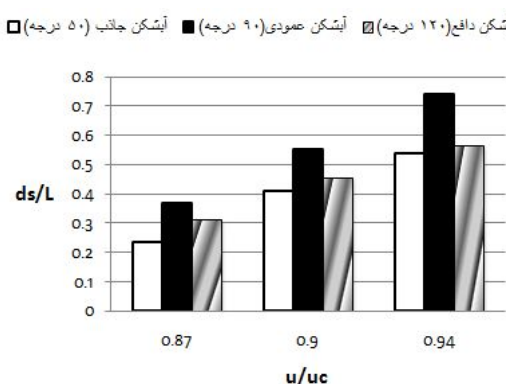
فاصله گرفته است. بیشینه عمق آبستنگی مربوط به حالت شاهد و برابر $2.76D$ و کمینه آن در حضور آبشکن 90 درجه و برابر $D/73$ می‌باشد. نتایج تحقیقات عقلی و زمردان (۹) نیز، نتایج فوق را تصدیق می‌نماید.

از شاهد فاصله گرفته و بر عکس منحنی 120 درجه مقدار کمی به منحنی شاهد نزدیک شده است. بیشینه عمق آبستنگی نیز مربوط به حالت شاهد و برابر $2.02D$ و کمینه آن در حضور آبشکن 90 درجه و برابر $D/96$ می‌باشد.

کاهش عمق آبستنگی موضعی به وسیله آبشکن در نسبت‌های u/u_c مختلف

نتایج مربوط به عملکرد آبشکن در کنترل آبستنگی موضعی در اطراف پایه پل در شکل ۱۲، به صورت درصد کاهش عمق آبستنگی در حضور آبشکن نسبت به حالت شاهد نشان داده شده است. همان‌طور که در شکل مشخص شده، در تمام مدل‌های بررسی شده، کاهش آبستنگی توسط آبشکن 90 درجه بیشتر از آبشکن‌های 50 و 120 درجه می‌باشد. علت این

شکل ۱۱ تغییرات زمانی عمق آبستنگی موضعی اطراف پایه پل را در نسبت u/u_c برابر با 0.94 نشان می‌دهد. در این شکل مشخص است که عملکرد آبشکن 90 درجه در کاهش آبستنگی، نسبت به دو حالت قبل ضعیفتر شده و منحنی آن به منحنی شاهد نزدیک‌تر است، اما منحنی آبشکن 50 درجه از شاهد دورتر شده و عملکرد آن نسبت به حالت‌های قبل بهبود یافته است. منحنی آبشکن 120 درجه نیز در این حالت از شاهد

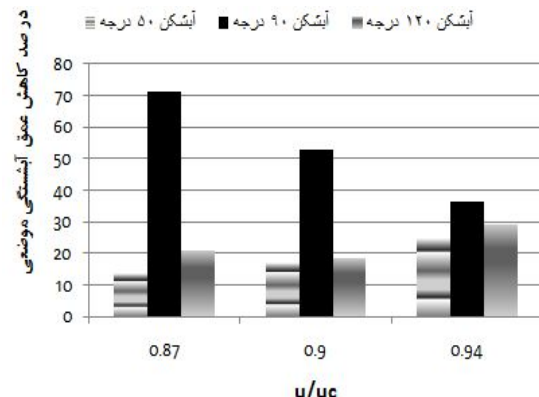


شکل ۱۳. ماقزیم عمق آبستتگی اطراف آبشنکن

می‌شود که با افزایش درصد تنگ شدگی کانال توسط آبشنکن از زوایای 50° درجه ($12/76$ درصد) و 120° درجه ($14/43$ درصد) به زاویه 90° درجه ($16/66$ درصد) آبستتگی در اطراف آبشنکن در حال افزایش است. در تمامی نسبت‌ها مقدار آبستتگی در حوالی آبشنکن دافع (120° درجه) بیشتر از آبشنکن جاذب (50° درجه) می‌باشد که این نتیجه‌گیری به خوبی با نتایج حاصل از کار محققین قبلی از جمله بهرامی (۲) و ولی زاده (۱۰) نیز مطابقت دارد. در این حالت ماقزیم عمق آبستتگی مربوط به آبشنکن عمودی در نسبت u/u_c برابر با 0.94 با مقدار $L/74^\circ$ می‌باشد و مینیمم عمق آبستتگی مربوط به آبشنکن جاذب در نسبت u/u_c برابر با 0.87 با مقدار $L/235^\circ$ است.

نتیجه‌گیری

با توجه به نتایج آزمایشات، در کلیه نسبت‌های u/u_c و کلیه زوایای قرارگیری آبشنکن، آبستتگی در اطراف پایه پل نسبت به حالت شاهد کاهش می‌یابد. در همه نسبت‌های u/u_c بهترین عملکرد مربوط به آبشنکن عمودی می‌باشد و میانگین عملکرد آبشنکن دافع نسبت به آبشنکن جاذب بهتر و مطلوب‌تر است اما با افزایش دبی و به تبع آن نسبت u/u_c از تأثیر آبشنکن عمودی کاسته شده و در مقابل عملکرد آبشنکن جاذب بهبود می‌یابد. آبستتگی در اطراف آبشنکن در تمامی حالات با افزایش نسبت u/u_c افزایش می‌یابد. همچنین در یک نسبت u/u_c ثابت،



شکل ۱۴. درصد کاهش عمق آبستتگی اطراف پایه پل

امر را می‌توان این‌طور بیان کرد که با توجه به اینکه عمق آبستتگی در کناره آبشنکن عمودی بیشتر از سایر آبشنکن‌ها است، رسوبات خارج شده از اطراف آنها بیشتر وارد گودال آبستتگی ناشی از پایه پل شده و عمق آبستتگی کمتر اندازه‌گیری می‌شود. در این خصوص، نتایج سعادت‌نیا و همکاران (۷) نیز این مسئله را تأیید می‌کنند. همچنین با افزایش دبی و به تبع آن افزایش نسبت u/u_c ، از کاهش عمق آبستتگی توسط آبشنکن 90° درجه کاسته می‌گردد، زیرا با افزایش سرعت جريان، رسوبات کنده شده از کناره آبشنکن‌ها با سرعت بیشتری از روی گودال آبستتگی اطراف پایه پل عبور می‌کنند و فرست نشست در گودال را پیدا نمی‌کنند. در مقابل، با افزایش نسبت u/u_c تأثیر آبشنکن 50° درجه در کاهش آبستتگی بیشتر می‌شود که علت آن را می‌توان در عملکرد بهتر آبشنکن 50° درجه در دور کردن خطوط جريان از اطراف پایه پل دانست.

عمق آبستتگی موضعی در پای آبشنکن‌ها در نسبت u/u_c مختلف

در شکل ۱۳ مقادیر ماقزیم عمق آبستتگی به طول آبشنکن در مقابل سرعت جريان به سرعت بحرانی نمایش داده شده است. همان‌طور که این شکل نشان می‌دهد، با افزایش نسبت u/u_c مقدار عمق آبستتگی در اطراف آبشنکن در تمامی حالات افزایش می‌یابد. همچنین در یک نسبت u/u_c ثابت، مشاهده

با افزایش درصد تنگ شدگی توسط آبشکن از زوایای ۵۰ درجه
 (۱۲/۷۶ درصد) و ۱۲۰ درجه (۱۴/۴۳ درصد) به زاویه ۹۰ درجه (۱۶/۶۶ درصد) آبستتگی در اطراف آبشکن در حال

منابع مورد استفاده

۱. بصیرت، ش.، م. صانعی و ف. ساغروانی. ۱۳۸۸. کاهش میزان آبستتگی تکیه‌گاه پل با استفاده از آبشکن محافظ. هشتمین کنفرانس بین‌المللی مهندسی عمران. دانشگاه شیراز. ۲۱ تا ۲۳ اردیبهشت ۱۳۸۸.
۲. بهرامی، ا. ۱۳۸۳. بررسی صحرایی پدیده آبستتگی در اطراف آبشکن‌های رودخانه‌ای. پایان نامه کارشناسی ارشد مهندسی آب، دانشکده کشاورزی، دانشگاه شیراز.
۳. حیدرپور، م.، ح. افضلی مهر و م. نادری نبی. ۱۳۸۲. کنترل و کاهش آب شستگی موضعی در پایه‌های پل با مقاطع مستطیلی گرد گوشه با استفاده از شکاف. مجله علوم و فنون کشاورزی و منابع طبیعی، علوم آب و خاک (۳): ۲۳-۲۷.
۴. خادم، غ. ۱۳۸۱. طراحی لایه ریپ رپ در اطراف پایه پل با آبستتگی محدود مجاز. پایان نامه کارشناسی ارشد مهندسی عمران، دانشکده مهندسی، دانشگاه فردوسی مشهد.
۵. دبردانی، ا.، م. صانعی و ب. قربانی. ۱۳۸۹. بررسی تأثیر کاربرد صفحات مستغرق دو گانه با طول های متفاوت در کاهش آب شستگی موضعی پایه پل با استفاده از نمودار زمانی. نهمین کنفرانس هیدرولیک. دانشگاه تربیت مدرس. ۱۸ تا ۲۰ آبان ۱۳۸۹.
۶. زراتی، ا. و م. عزیزی. ۱۳۷۶. روش‌های محافظت پایه پل در برابر آبستتگی. مجموعه مقالات نخستین کنفرانس هیدرولیک ایران. دانشگاه تهران. ۱۱ تا ۱۳ شهریور ۱۳۷۶.
۷. سعادت نیا، م.، س. ر. خداشناس و ک. اسماعیلی. ۱۳۸۹. تحلیل آزمایشگاهی عملکرد آبشکن بر کاهش عمق و حجم آبستتگی اطراف دماغه پل. پنجمین کنگره ملی مهندسی عمران، دانشگاه فردوسی مشهد. ۱۴ تا ۱۶ اردیبهشت ۱۳۸۹.
۸. شفاعی بجستان، م. ۱۳۸۴. هیدرولیک رسوب. انتشارات دانشگاه شهید چمران اهواز، اهواز.
۹. عقلی، م. و س. م. ع. زمردیان. ۱۳۹۲. تأثیر توام طوق و کابل بر روی عمق آبستتگی اطراف پایه پل در قوس رودخانه‌ها، مجله علوم و مهندسی آبیاری (۳): ۴۰-۳۱.
۱۰. ولی زاده، م. ۱۳۸۵. بررسی ساختار جریان و مطالعه آبستتگی در اطراف آبشکن‌ها در حالت مستغرق در کanal مرکب. پایان نامه کارشناسی ارشد مهندسی آب، دانشکده کشاورزی، دانشگاه شیراز.
11. Dey, S., B. M. Sumer and J. Fredsoe. 2006. Control of scour at vertical circular piles under waves and current. J. ASCE 132(3): 270-282.
12. DHI . 1992. Hydraulic Manual of Mike 11 Mode.a microcomputer based modelling system for rivers and channels, Danish Hydraulic Institute (DHI), Denmark.
13. Heidarnejad, M., M. Shafai Bajestan and A. Masjedi. 2010. The effect of solts on scouring around piers in different positions of 180 degree bends. J. World Applied Sciences 8(7): 892-899.
14. Heidarpour, M., H. Afzalimehr and E. Izadinin. 2010. Reduction of local scour around bridge pier groups using collar. J. Sediment Research 25(4): 411-422.
15. Khwairakpam, P. and A. Mazumdar. 2009. Local scour around hydraulic structures. J. Recent Trends in Engineering 1(6): 59-61.
16. Kumar, V., K. G. Rang Raju and N. Vittal. 1999. Reduction of local scour around bridge pier using slots and collar. J. J. ASCE 125(2): 132-135.
17. Masjedi, A. R., M. Shafeei Bejstan and A. Esfandi. 2010. Experimental study on local scour around single oblong pier fitted with a collar in a 180 degree flume bend. J. Sediment Research 25(3): 304-312.

18. Melville, B. W. 1997. Pier and abutment scour-an integrated approach. J. ASCE 123(2): 125-136.
19. Melville, B. W. and A. J. Sutherland. 1988. Design method for local scour at bridge piers. J. ASCE 114(10): 1210-1226.
20. Perdok, U. H. 2002. Application of timber groynes in coastal engineering. Master degree Thesis, TU delft university of Technology.
21. Raudkivi, J. A. 1998. Loose boundary hydraulics. A. A. Balkema, Rotterdam. Netherlands.
22. Raudkivi, J. A. and R. Ettema. 1983. Clear water scour at cylindrical piers. J. ASCE 109(3): 338-349.
23. Singh, C. P., B. Setiaand D. V. S. Verma. 2001. Collar sleeve combination as a scour protection device around a circular pier. 29th Congress on Hydraulic of River, Water and Machinery.16-21 September, China.